

**(19) 대한민국특허청(KR)**  
**(12) 등록특허공보(B1)**

<b>(51) Int. Cl.</b>		<b>(45) 공고일자</b>	<b>2006년10월17일</b>
<i>H05B 33/26</i> (2006.01)		<b>(11) 등록번호</b>	<b>10-0635509</b>
		<b>(24) 등록일자</b>	<b>2006년10월11일</b>

<b>(21) 출원번호</b>	<b>10-2005-0074865</b>	<b>(65) 공개번호</b>
<b>(22) 출원일자</b>	<b>2005년08월16일</b>	<b>(43) 공개일자</b>

**(73) 특허권자** 삼성에스디아이 주식회사  
 경기 수원시 영통구 신동 575

**(72) 발명자** 김양완  
 경기 용인시 기흥읍 공세리 삼성SDI중앙연구소

**(74) 대리인** 박상수

**심사관 : 추장희**

---

**(54) 유기 전계발광 표시장치**

---

**요약**

디멀티플렉스를 이용하여 데이터 드라이버의 출력라인 수를 감소시키고, 균일한 휘도의 영상을 표시할 수 있으며, 화이트 밸런스를 맞출 수 있는 유기 전계발광 표시장치에 관하여 개시한다. 본 발명의 유기 전계발광 표시장치는 다수개의 레드, 그린, 부화소를 가지며, 각각의 부화소는 구동전압의 감소를 보정하기 위한 보조 커패시터를 구비한다. 상기 각 보조 커패시터의 커패시턴스는 레드, 그린, 블루 부화소의 발광효율에 따라 크기를 달리한다. 그런 부화소의 보조 커패시터의 커패시턴스는 레드 부화소의 보조 커패시터 보다 크며, 레드 부화소의 보조 커패시터의 커패시턴스는 블루 부화소의 보조 커패시터 보다 크다. 따라서, 동일한 데이터 전암으로 화이트 밸런스를 맞출 수 있다.

**대표도**

도 8

**명세서**

**도면의 간단한 설명**

도 1은 종래의 유기 전계발광 표시장치를 나타내는 블럭도이다.

도 2는 본 발명의 실시예에 따른 유기 전계발광 표시장치를 나타내는 블록도이다.

도 3은 도 2에 도시된 디멀티플렉서의 내부를 나타내는 회로도이다.

도 4는 도 2에 도시된 N×M개의 화소들 중 대표적인 화소를 나타내는 회로도이다.

도 5는 본 발명의 실시예에 따라 도 3에 도시된 대표적인 디멀티플렉서와 도 4에 도시된 대표적인 화소들의 연결 구조를 상세히 나타내는 회로도이다.

도 6은 도 5에 도시된 화소회로의 동작을 설명하기 위한 타이밍도이다.

도 7은 도 4에 도시된 화소의 보조 커패시터의 커패시턴스 크기에 따라 구동전류의 변화를 나타낸 시뮬레이션도이다.

도 8은 본 발명의 실시예에 따라 도 7에 도시된 시뮬레이션도에 따라 동일한 데이터 전압으로 화이트 밸런스를 맞출 수 있는 레드, 그린, 블루의 부화소 레이아웃도이다.

\*도면의 주요부분에 대한 설명\*

100 : 표시패널 120: 스캔 드라이버

130 : 데이터 드라이버 140 : 타이밍 제어부

150 : 디멀티플렉스부 151 : 디멀티플렉스

160 : 디멀티플렉스 제어부

### 발명의 상세한 설명

#### 발명의 목적

#### 발명이 속하는 기술 및 그 분야의 종래기술

본 발명은 유기 전계발광 표시장치에 관한 것으로, 구체적으로 디멀티플렉스를 이용하여 데이터 드라이버의 출력라인 수를 감소시키고, 균일한 휙도의 영상을 표시할 수 있으며, 화이트 밸런스를 맞출 수 있는 유기 전계발광 표시장치에 관한 것이다.

최근, 음극선관(Cathode Ray Tube)의 단점인 무게와 부피를 줄일 수 있는 각종 평판 표시장치들이 개발되고 있다. 평판 표시장치(Flat Panel Display: FPD)로는 액정 표시 장치(Liquid Crystal Display: LCD), 전계 방출 표시장치(Field Emission Display: FED), 플라즈마 표시 패널(Plasma Display Panel: PDP) 및 유기 전계발광 표시장치(Organic Electro-luminescent Display: OELD) 등이 있다.

상기 평판 표시장치 중 유기 전계발광 표시장치에 포함된 유기발광소자(Organic Light Emitting Diode: OLED)는 캐소드(cathode)에서 공급되는 전자(electron)와 애노드(anode)에서 공급되는 정공(hole)의 재결합에 의하여 빛을 발생하는 자발광소자이다. 이러한, 유기 전계발광 표시장치는 빠른 응답속도(보통  $1\mu\text{s}$ )를 가짐과 동시에 낮은 소비전력으로 구동되는 장점이 있다. 일반적인 유기 전계발광 표시장치는 각 화소(pixel)마다 형성되는 구동 박막 트랜지스터(Thin Film Transistor: TFT)를 이용하여 데이터신호에 상응하는 구동전류를 유기발광소자(OLED)로 공급함으로써 유기발광소자(OLED)에서 빛이 발광되어 소정의 영상을 디스플레이하게 된다.

도 1은 종래의 유기 전계발광 표시장치를 나타내는 블럭도이다.

도 1을 참조하면, 일반적인 유기 전계발광 표시장치는 표시 패널(10), 스캔 드라이버(20), 데이터 드라이버(30) 및 타이밍 제어부(40)를 구비한다.

표시패널(10)은 다수의 스캔라인 및 발광제어라인(S1-Sn, E1-En)과 다수의 데이터라인(D1-Dm)이 교차하는 영역에 형성된 다수의 화소들(P11-Pnm)을 포함한다. 상기 각각의 화소들(P11-Pnm)은 외부로부터 제 1 전원(Vdd) 및 제 2 전원(Vss)을 공급받으며, 다수의 데이터라인(D1-Dm)으로부터 전달되는 데이터신호에 상응하는 빛을 발광하여 화상을 표시한다. 그리고, 화소들(P11-Pnm)은 발광제어라인(E1-En)을 통하여 전달되는 발광제어신호에 대응하여 발광 시간이 제어된다.

스캔 드라이버(20)는 타이밍 제어부(40)로부터의 스캔제어신호(Sg)에 응답하여 스캔신호를 생성하고, 생성된 스캔신호를 상기 다수의 스캔라인(S1-Sn)에 순차적으로 공급하여 상기 화소들(P11-Pnm)을 선택한다. 또한, 스캔 드라이버(20)는 스캔제어신호(Sg)에 응답하여 발광제어신호를 생성하고, 생성된 발광제어신호를 상기 다수의 발광제어라인들(E1-En)로 순차적으로 공급하여 발광을 제어한다.

데이터 드라이버(30)는 타이밍 제어부(40)로부터 R, G, B 데이터를 공급받아 데이터 제어신호(Sd)에 응답하여 데이터신호들을 생성하고, 생성된 데이터신호들을 상기 다수의 데이터라인들(D1-Dm)로 공급한다. 이 때, 데이터 드라이버(30)는 1 수평기간마다 1 수평라인 분씩의 데이터신호를 데이터라인들(D1-Dm)로 공급한다.

타이밍 제어부(40)는 외부 그래픽 제어기(미도시)로부터 공급되는 영상 데이터와 수평 및 수직 동기신호들(Hsync, Vsync)에 상응하는 데이터 제어신호(Sd) 및 스캔제어신호들(Sg)을 생성한다. 타이밍 제어부(40)에서 생성된 데이터제어신호들(Sd)은 데이터 드라이버(30)로 공급되고, 스캔 제어신호들(Sg)은 스캔 드라이버(20)로 공급된다.

이와 같이 구성되는 종래의 유기 전계발광 표시장치의 각각의 화소들(P11-Pnm)은 다수의 스캔라인들 및 발광제어라인들(S1-Sn, En-Em) 및 다수의 데이터라인들(D1-Dm)의 교차부에 위치된다. 여기서, 데이터 드라이버(30)는 m개의 데이터라인들(D1-Dm) 각각으로 데이터신호를 공급할 수 있도록 m개의 출력라인을 구비한다. 즉, 종래의 유기 전계발광 표시장치에서 데이터 드라이버(30)는 데이터라인들(D1-Dm)과 동일한 수의 출력라인을 구비하여야 한다. 따라서, 데이터 드라이버(30)의 내부에는 m개의 출력라인이 구비되도록 다수의 데이터 집적회로(Integrated Circuit:IC)들이 포함되고, 이에 따라 제조비용이 상승되는 문제점이 발생된다. 특히, 표시패널(10)의 해상도 및 인치(inch)가 커질수록 데이터 드라이버(30)는 더 많은 데이터 집적회로(IC)를 구비하여야 하고, 이에 따라 제조비용이 더욱 상승된다는 문제점이 있다.

### 발명이 이루고자 하는 기술적 과제

상기 문제점을 해결하고자 본 발명이 이루고자 하는 기술적 과제는 디멀티플렉스를 이용하여 데이터 드라이버의 수를 감소시키고, 균일한 휙도의 영상을 표시할 수 있으며, 동일한 전압으로 화이트 밸런스를 맞출 수 있는 유기 전계발광 표시장치를 제공하는 것이다.

### 발명의 구성 및 작용

상기 목적을 달성하기 위한 본 발명의 유기 전계발광 표시장치는 레드 부화소, 그린 부화소, 및 블루 부화소로 구성되는 화소들을 다수개 가지며, 상기 다수의 화소들이 발광하여 영상을 디스플레이 하는 유기 전계발광 표시장치에 있어서,

상기 각각의 부화소는 데이터라인, 스캔라인 및 제 1 전원전압라인에 연결되고, 상기 데이터라인에서 공급되는 구동전압을 저장하는 스토리지 커패시터를 포함하고, 소정의 구동전류를 발생하기 위한 화소구동부; 및 상기 화소구동부와 제 2 전원전압라인 사이에 연결되고, 상기 구동전류에 해당하는 휙도로 발광하는 유기발광소자를 포함하며, 상기 화소구동부는 상기 스토리지 커패시터와 스캔라인 사이에 연결되고, 상기 구동전압을 증가시키기 위한 보정전압을 생성하는 보조 커패시터를 더 포함하고, 상기 각각의 부화소들의 상기 보조 커패시터들은 상기 각각의 부화소들의 발광효율의 비에 따라 그 커패시턴스를 달리하는 것을 특징으로 한다.

이하, 본 발명의 바람직한 실시예를 첨부된 도면을 참조하여 상세히 설명한다.

### 실시예

도 2는 본 발명의 실시예에 따른 유기 전계발광 표시장치를 나타내는 블록도이다.

도 2를 참조하면, 본 발명의 실시 예에 따른 유기 전계발광 표시장치는 표시패널(100), 스캔 드라이버(120), 데이터 드라이버(130), 타이밍 제어부(140), 디멀티플렉서부(150) 및 디멀티플렉서 제어부(160)를 구비한다.

표시패널(100)은 다수의 스캔라인들 및 발광제어라인들(S1-Sn, E1-En)과 다수의 데이터라인들(D11-Dmk)에 의해 정의되는 영역에 위치하는 다수의 화소들(P111-Pnmk)을 구비한다.

상기 각각의 화소들(P111-Pnmk)은 해당하는 데이터라인들(D11-Dmk)로부터 공급되는 데이터신호에 상응하는 빛을 발생한다. 상기 각각의 화소들(P111-Pnmk) 중 대표적인 화소(110)에 대하여는 후술하기로 한다.

또한, 상기 각각의 화소들(P111-Pnmk)이 위치하는 영역의 데이터라인들(D11-Dmk)마다 상기 데이터신호를 일시 저장하는 다수의 데이터라인 커패시터들( $C_{data11}-C_{datamk}$ )이 형성된다.

예를들어, 데이터기입기간동안, 제 1 화소(P111)를 발광시키기 위해 제 1 데이터라인(D11)으로 데이터전압이 인가하면, 데이터라인(D11)에 형성되는 제1 데이터라인 커패시터( $C_{data11}$ )에 상기 데이터전압이 일시 저장된다. 다음으로 스캔기간동안, 제 1 스캔신호(S1)에 의해 제 1 화소(P111)가 선택되면 상기 제 1 데이터라인 커패시터( $C_{data11}$ )에 저장된 데이터전압이 제 1 화소(P111)로 공급되어 데이터전압에 상응하는 빛을 발광한다.

이와 같이 각 데이터라인(D11-Dmk)에 형성된 데이터라인 커패시터들( $C_{data11}-C_{datamk}$ )은 다수의 데이터라인(D11-Dmk)으로 공급되는 데이터신호를 일시 저장하고, 스캔신호에 의해 선택된 화소들(P111-Pnmk)로 저장된 데이터전압을 공급한다. 여기서, 상기 데이터라인 커패시터들( $C_{data11}-C_{datamk}$ )은 데이터라인들(D11-Dmk)과 제 3의 전극 및 이들 사이의 절연막에 의해 등가적으로 형성되는 기생 커패시터를 이용한다. 실제로, 데이터라인들(D11-Dmk)에 등가적으로 형성되는 각각의 데이터라인 커패시터들( $C_{data11}-C_{datamk}$ )의 커패시턴스는 데이터신호를 안정적으로 저장하기 위하여 각각의 화소들(P111-Pnmk)마다 포함되는 스토리지 커패시터(Cst)의 커패시턴스 보다 크게 설정되는 것이 바람직하다.

스캔 드라이버(120)는 타이밍 제어부(140)로부터 공급되는 스캔제어신호들(Sg)에 응답하여 스캔신호를 생성하고, 생성된 스캔신호를 스캔라인들(S1-Sn)로 순차적으로 공급한다. 여기서, 스캔 드라이버(110)는 도 6과 같이 스캔신호를 1수평기간(1H) 중 일부기간(스캔기간)에만 공급한다. 이를 상세히 설명하면, 본 발명에서 1수평기간(1H)은 스캔기간 및 데이터기입기간으로 분할된다. 스캔 드라이버(120)는 1수평기간(1H) 중 스캔기간 동안 스캔라인(Sn)으로 스캔신호를 공급하고, 데이터기입기간 동안 스캔신호를 공급하지 않는다. 한편, 스캔 드라이버(120)는 스캔제어신호들(Sg)에 응답하여 발광 제어신호를 생성하고, 생성된 발광 제어신호를 발광 제어라인들(E1-En)로 순차적으로 공급하여 발광을 제어한다.

데이터 드라이버(130)는 타이밍 제어부(150)로부터 공급되는 R, G, B 데이터를 인가받고, 데이터제어신호들(Sd)에 응답하여 R, G, B 데이터신호를 순차적으로 출력라인들(D1-Dm/k)로 공급한다. 여기서, 데이터 드라이버(130)는 각각의 출력단마다 접속된 출력라인들(D1-Dm/k)로 k(k는 2이상의 정수)개의 데이터신호(도 6에서는 3개의 R, G, B 데이터신호)를 순차적으로 공급한다. 이를 상세히 설명하면, 데이터 드라이버(130)는 1수평기간(1H) 중 데이터기입기간 동안 해당 화소들로 공급될 데이터신호들(예를 들며, R, G, B 데이터)을 순차적으로 공급한다. 여기서, 해당 화소들로 공급될 데이터신호(R,G,B)가 데이터기입기간에만 공급되기 때문에 스캔신호의 공급시간인 스캔기간과 중첩되지 않는다.

타이밍 제어부(140)는 외부 그래픽 제어기(미도시)로부터 공급되는 영상 데이터와 수평 및 수직 동기신호들에 상응하는 데이터 제어신호들(Sd) 및 스캔 제어신호들(Sg)을 생성한다. 타이밍 제어부(140)에서 생성된 데이터 제어신호들(Sd)은 데이터 드라이버(130)로 공급되고, 스캔 제어신호들(Sg)은 스캔 드라이버(120)로 공급된다.

디멀티플렉서부(150)는 m개의 디멀티플렉서(151)를 구비한다. 상세히 설명하면, 디멀티플렉서부(150)는 데이터 드라이버(130)에 연결되는 출력라인들(D1-Dm)과 동일한 수의 디멀티플렉서(151)를 구비하고, 각각의 디멀티플렉서(151)의 입력단은 상기 데이터 드라이버(130)의 출력라인들(D1-Dm)과 각각 접속된다. 그리고, 각각의 디멀티플렉서(151)의 출력단 예를들어 제 1 디멀티플렉스의 출력단은 k개의 데이터라인들(D11-D1k)과 접속된다. 상기 제 1 디멀티플렉서(151)는 데이터기입기간에 순차적으로 공급되는 k개의 데이터신호를 k개의 데이터라인들(D11-D1k)로 인가한다. 이와 같이 한 개의 출력라인(D1)으로 순차 공급되는 k개의 데이터신호를 k개의 데이터라인들(D11-D1k)로 순차적으로 인가하게 되면 데이터 드라이버(130)에 포함된 출력라인 수가 급격히 감소된다. 예를 들어, k를 3으로 가정하게 되면 데이터 드라이버(130)에 포함된 출력선 수는 종래의 1/3 수준으로 감소되고, 이에 따라 데이터 드라이버(130) 내부에 포함된 데이터 집적회로(IC)의 수도 감소되게 된다. 즉, 본 발명에서는 디멀티플렉서(151)를 이용하여 한 개의 출력라인(D1)으로 공급되는 데이터신호를 k개의 데이터라인들(D11-D1k)로 공급함으로써 데이터 집적회로(IC)의 제조비용을 절감할 수 있는 장점이 있다.

디멀티플렉서 제어부(160)는 출력라인(D1)으로 공급되는 k개의 데이터신호가 k개의 데이터라인들(D11-D1k)로 분할되어 공급될 수 있도록 1수평기간(1H) 중 데이터기입기간 동안 k개의 제어신호를 디멀티플렉서(151)의 제어단자 각각에 공급한다. 여기서, 디멀티플렉서 제어부(160)에서 공급되는 k개의 제어신호는 도 6과 같이 데이터기입기간동안 서로 중첩되지 않도록 순차적으로 공급된다. 한편, 디멀티플렉서 제어부(160)가 타이밍 제어부(140)의 외부에 설치된 것으로 도시되었지만, 본 발명의 실시예에서 디멀티플렉서 제어부(160)는 타이밍 제어부(140)의 내부에 설치될 수도 있다.

도 3은 도 2에 도시된 디멀티플렉서의 내부를 나타내는 회로도이다.

도 3에서는 설명의 편의상 k를 3으로, 데이터는 레드, 그린, 블루 순으로 입력되는 것으로 가정한다. 그리고 도 3에 도시된 디멀티플렉서는 데이터 드라이버(130)의 첫번째 출력라인(D1)에 접속되었다고 가정하여 설명하기로 한다.

도 3을 참조하면, 디멀티플렉서(151)는 제 1 스위칭소자(T1), 제 2 스위칭소자(T2) 및 제 3 스위칭소자(T3)를 구비한다. 상기 각각의 스위칭소자들(T1, T2, T3)은 박막 트랜지스터로 형성될 수 있으며, 본 발명에서는 스위칭소자(T1, T2, T3)를 P타입 MOSFET(Metal Oxide Semiconductor Field Effect Transistor: 이하, 'MOSFET' 이라 함.)으로 구성하였지만, 당업자의 기술수준으로 N타입 MOSFET으로 구성될 수도 있다.

제 1 스위칭소자(T1)는 제 1 출력라인(D1)과 제 1 데이터라인(D11)의 사이에 접속된다. 이와 같은 제 1 스위칭소자(T1)는 디멀티플렉서 제어부(160)로부터 제 1 제어신호(CS1)가 공급될 때 턴-온 되어 제 1 출력라인(D1)으로부터 공급되는 레드 데이터신호를 제 1 데이터라인(D11)으로 공급한다. 제 1 데이터라인(D11)으로 공급된 데이터신호는 상기 도2에서 설명한 데이터기입기간 동안 제 1 데이터라인 커패시터( $C_{data11}$ )에 저장된다.

제 2 스위칭소자(T2)는 제 1 출력라인(D1)과 제 2 데이터라인(D12)의 사이에 접속된다. 이와 같은 제 2 스위칭소자(T2)는 디멀티플렉서 제어부(160)로부터 제 2 제어신호(CS2)가 공급될 때 턴-온 되어 제 1 출력라인(D1)으로 공급되는 그린 데이터신호를 제 2 데이터라인(D12)으로 공급한다. 제 2 데이터라인(D12)으로 공급된 데이터신호는 상기 도2에서 설명한 데이터기입기간 동안 제 2 데이터라인 커패시터( $C_{data12}$ )에 저장된다.

제 3 스위칭소자(T3)는 제 1 출력라인(D1)과 제 3 데이터라인(D13)의 사이에 접속된다. 이와 같은 제 3 스위칭소자(T3)는 디멀티플렉서 제어부(160)로부터 제 3 제어신호(CS3)가 공급될 때 턴-온 되어 제 1 출력라인(D1)으로 공급되는 블루 데이터신호를 제 3 데이터라인(D13)으로 공급한다. 제 3 데이터라인(D13)으로 공급된 데이터신호는 상기 도2에서 설명한 데이터기입기간 동안 제 3 데이터라인 커패시터( $C_{data13}$ )에 저장된다. 이와 같은 디멀티플렉서(151)의 상세한 동작과정은 화소(110)의 구조와 결합하여 후술하기로 한다.

도 4는 도 2에 도시된 N개 M개의 화소들 중 대표적인 화소를 나타내는 회로도이다. 여기서, 본 발명의 실시 예에 따른 화소는 도 4에 도시된 화소로 한정되지 않는다.

도 4를 참조하면, 본 발명의 실시 예에 따른 대표적인 화소(110)는 유기발광소자(OLED)와, 데이터라인(Dmk), 이전 및 현재 스캔라인(Sn, Sn-1), 발광 제어라인(En), 제 1 전원전압라인(Vdd) 및 초기화전압라인(Vinit)에 접속되어 상기 유기발광소자(OLED)를 발광시키기 위한 구동전류를 생성하는 화소구동회로(111)를 포함한다. 상기 데이터라인(Dmk)에는 상기 화소(110)로 데이터전압을 공급하는 데이터라인 커패시터( $C_{datamk}$ )가 형성되어 있다.

유기발광소자(OLED)는 애노드전극이 화소구동회로(111)에 접속되고, 캐소드전극이 제 2 전원전압라인(Vss)에 접속된다. 제 2 전원(Vss)은 제 1 전원(Vdd)보다 낮은 전압, 예를 들면 그라운드 전압 또는 음(−)의 전압 등이 될 수 있다. 따라서, 유기발광소자(OLED)는 상기 화소구동회로(111)로부터 공급되는 구동전류에 상응하는 빛을 발광한다.

화소구동회로(111)는 1개의 스토리지 커패시터(Cst)와 6개의 트랜지스터(M1 내지 M6)를 포함한다. 여기서 제 1 트랜지스터(M1)는 구동 트랜지스터이며, 제 3 트랜지스터(M3)는 제 1 트랜지스터(M1)를 다이오드 연결(diode-connected)시켜 문턱전압을 보상하기 위한 문턱전압 보상 트랜지스터이고, 제 4 트랜지스터(M4)는 상기 스토리지 커패시터(Cst)를 초기화시키기 위한 초기화 트랜지스터이다. 그리고, 제 6 트랜지스터(M6)는 유기발광소자(OLED)의 발광을 제어하기 위한 발광제어 트랜지스터이고, 제 2 및 제 5 트랜지스터(M2, M5)는 스위칭 트랜지스터이다.

제 1 스위칭 트랜지스터(M2)는 현재 스캔라인(Sn)에 게이트전극이 연결되고, 데이터라인(Dmk)에 소스전극이 연결되며, 현재 스캔라인(Sn)을 통하여 전달되는 스캔신호에 턴-온 되어 데이터라인 커패시터( $C_{datamk}$ )에서 전달되는 데이터전압을 전달한다.

구동 트랜지스터(M1)는 상기 제 1 스위칭 트랜지스터(M2)의 드레인전극에 소스전극이 연결되고, 노드(N)에 게이트전극이 연결된다. 상기 노드(N)는 문턱전압 보상 트랜지스터(M3)의 소스 또는 드레인전극과 스토리지 커패시터(Cst)의 제 1 단자가 공통 연결되며, 구동 트랜지스터(M1)의 게이트전압이 결정된다. 따라서, 구동 트랜지스터(M1)는 게이트전극에 인가된 전압에 상응하는 구동전류를 생성한다.

문턱전압 보상 트랜지스터(M3)는 상기 구동 트랜지스터(M1)의 게이트전극과 소스전극사이에 연결되며, 현재 스캔라인(Sn)을 통하여 전달되는 스캔신호에 응답하여 구동 트랜지스터(M1)를 다이오드 연결시킨다. 따라서, 상기 스캔신호에 따라 구동 트랜지스터(M1)는 다이오드와 같은 상태가 되어 상기 노드(N)에 전압  $V_{data} - V_{th}[V]$ 가 인가되며, 이는 상기 구동 트랜지스터(M1)의 게이트 전압이 된다.

초기화 트랜지스터(M4)는 초기전압라인(Vinit)과 스토리지 커패시터(Cst)의 제 1 단자 사이에 연결되고, 게이트전극에 연결된  $n-1$  번째 스캔라인(Sn-1)의 스캔신호에 응답하여 이전 프레임 때 상기 스토리지 커패시터(Cst)에 충전된 전하를 상기 초기전압라인(Vinit)을 통하여 방전시킴으로써 상기 스토리지 커패시터(Cst)를 초기화시킨다.

제 2 스위칭 트랜지스터(M5)는 제 1 전원전압라인(Vdd)과 구동 트랜지스터(M1)의 소스전극 사이에 연결되고, 게이트전극에 연결된 발광제어라인(En)을 통하여 전달되는 발광제어신호에 터-온 되어 제 1 전원전압(Vdd)을 상기 구동 트랜지스터(M1)의 소스전극에 인가한다.

발광제어 트랜지스터(M6)는 구동 트랜지스터(M1)와 유기발광소자(OLED) 사이에 연결되고, 게이트전극에 연결된 상기 발광제어라인(En)을 통하여 전달되는 발광제어신호에 응답하여 상기 구동 트랜지스터(M1)에서 생성되는 상기 구동전류를 상기 유기발광소자(OLED)로 전달한다.

스토리지 커패시터(Cst)는 제 1 전원전압라인(Vdd)과 구동 트랜지스터(M1)의 게이트전극 사이에 연결되며, 제 1 전원전압(Vdd)과 상기 구동 트랜지스터(M1)의 게이트전극에 인가되는 전압  $V_{data} - V_{th}[V]$ 의 전압차에 해당하는 전하를 1 프레임동안 유지한다.

도 4에서는 제 1 내지 제 6 트랜지스터(M1 내지 M6)가 PT타입 MOSFET으로 도시되었지만, 본 발명은 이에 한정되는 것은 아니며, 본 발명이 속하는 기술분야의 당업자는 N타입 MOSFET으로 설계할 수 있음을 자명하다.

상기와 같은 구성의 화소에 데이터신호가 인가되는 과정은 데이터기입기간 동안 데이터라인 커패시터( $C_{datamk}$ )에 데이터신호에 상응하는 전압을 저장하고, 스캔기간 동안 데이터라인 커패시터( $C_{datamk}$ )에 저장된 전압을 화소로 공급한다. 이와 같이 데이터라인 커패시터( $C_{data11} - C_{data1k}$ )들에 저장된 전압을 동시에 각각의 화소들에 공급하기 때문에, 즉 동일한 시점에 각각의 데이터신호를 공급할 수 있기 때문에 균일한 휘도의 화상을 표시할 수 있다.

그러나, 상기와 같이 디멀티플렉스를 이용하여 데이터기입기간과 스캔기간을 분리함으로써, 데이터기입기간 동안 분리되어 있던 데이터라인 커패시터( $C_{datamk}$ )와 화소내의 스토리지 커패시터(Cst)가 스캔기간 동안 연결되면서 데이터라인 커패시터( $C_{datamk}$ )에 저장되어 있던 데이터전압( $V_{data}$ )에 해당하는 전하가 데이터라인 및 스토리지 커패시터( $C_{datamk}$  및 Cst)에 재분배(charge sharing)되어 실질적으로 구동 트랜지스터(M1)의 게이트전압( $V_{gM1}$ )은 하기 [수학식 1]과 같이 된다.

### 수학식 1

$$V_{gM1} = (C_{data} * V_{data} + C_{st} * V_{init}) / (C_{data} + C_{st})$$

여기서,  $V_{gM1}$ 는 구동 트랜지스터(M1)의 게이트전압,  $V_{data}$ 는 데이터전압,  $V_{init}$ 는 초기화전압,  $V_{dd}$ 는 제 1 전원전압,  $C_{data}$ 는 각 데이터라인의 커패시터 및  $C_{st}$ 는 각 화소내의 스토리지 커패시터를 나타낸다.

상기 [수학식 1]과 같이 구동 트랜지스터(M1)의 게이트전압( $V_{gM1}$ )은 데이터라인 커패시터( $C_{data}$ )와 화소 내 스토리지 커패시터( $C_{st}$ )의 커패시턴스에 따라 인가 데이터전압( $V_{data}$ )과 게이트전압( $V_{gM1}$ )간의 편차가 발생되는 것을 알 수 있다. 즉, 실제 데이터라인으로 인가한 데이터 전압 보다 낮은 값의 전압이 구동 트랜지스터의 게이트단자로 인가된다. 이로 인하여 블랙(black)의 표현이 어렵게 되어 콘트라스트 비가 좋지 않게 되는 문제점이 있다.

이를 해결하기 위하여 블랙 데이터전압을 기존에 비해 높게 인가하면 되지만, 데이터 드라이버의 스펙(spec.) 상 높은 블랙 데이터전압을 인가하는 것은 불가능하다. 또 다른 해결 방안으로 제 1 전원전압( $V_{dd}$ )를 낮추는 방법인 있는데, 블랙 표현은 가능하지만 제 1 전원전압( $V_{dd}$ )이 낮아진 만큼 제 2 전원전압( $V_{ss}$ )도 낮아져야 한다. 이는 제 2 전원전압( $V_{ss}$ )의 DC/DC 효율을 급격하게 감소시키게 된다.

따라서, 본 발명의 실시예에 따른 화소는 상기 도 4에 도시된 바와 같이 보조 커패시터(Caux)를 화소 내에 형성하는 것이다.

즉, 본 발명의 실시예에 따른 화소는 보조 커패시터(Caux)를 더 포함한다.

상기 보조 커패시터(Caux)는 제 1 전극이 현재 스캔라인(Sn) 및 제 1 스위칭 트랜지스터(M2)의 게이트 단자에 공통 연결되고, 제 2 전극이 상기 스토리지 커패시터(Cst) 및 구동 트랜지스터(M1)의 게이트 단자에 공통 연결되어 있다.

상기 보조 커패시터(Caux)는 스캔기간에서 발광기간으로 변화되면서, 구동 트랜지스터(M1)의 게이트 전압( $V_G$ )을 부스트(boost)시키는 역할을 한다. 즉, 스캔신호의 로우레벨 전압을 로우 스캔전압(VVSS)이라 하고, 스캔신호의 하이레벨을 하이 스캔전압(VVDD)라 하면, 보조 커패시터(Caux)의 제 1 전극에 인가되는 전압이 로우 스캔 전압(VVSS)에서 하이 스캔전압(VVDD)으로 천이됨으로써, 구동 트랜지스터(M1)의 게이트 전압은 상기 스토리지 커패시터(Cst)와 보조 커패시터(Caux)의 커플링에 의한 보정전압 만큼 상승하게 된다.

최종적으로 구동 트랜지스터의 게이트 전압( $V_G$ )을 수학식으로 나타내면 하기 [수학식 2]와 같다.

### 수학식 2

$$Cst(V_G - Vg_{M1}) = Caux\{(Vg_{M1} - V_G) - (VVSS - VVDD)\}$$

$$V_G = Vg_{M1} + Caux/(Cst + Caux) * (VVDD - VVSS)$$

여기서,  $V_G$ 는 보조 커패시터 형성 후의 구동 트랜지스터의 게이트단자 전압,  $Vg_{M1}$ 는 보조 커패시터 형성 전의 구동 트랜지스터의 게이트단자 전압, VVDD는 하이레벨의 스캔신호, VVSS는 로우 레벨의 스캔신호, Caux는 보조 커패시터 및 Cst는 스토리지 커패시터이다.

상기 [수학식 2]와 같이 보조 커패시터 형성 후 구동 트랜지스터(M1)의 게이트단자 전압이 보상전압(Caux/(Cst + Caux) \* (VVDD - VVSS)) 만큼 증가하여 기존의 감소량을 보상할 수 있다.

예를 들어, 제 1 전원전압(Vdd)을 블랙 데이터전압과 동일하게 설정 할 경우 보조 커패시터(Caux)를 형성하기 전에는 구동 트랜지스터(M1)에서 블랙레벨의 전류가 약 7nA 정도로 매우 크게 흘러 콘트라스트 비가 매우 떨어지게 되지만, 본 발명의 실시예에서와 같이 보조 커패시터(Caux)를 형성한 후에는 블랙레벨의 전류가 약 0.02nA 정도 흘러 스펙(spec.)을 만족하며, 콘트라스트 비도 향상된다. 스토리지 커패시터(Cst)의 크기는 보조 커패시터(Caux)의 크기보다 큰 것이 바람직 하며, 상기 예의 경우 스토리지 커패시터(Cst)의 크기는 보조 커패시터(Caux)의 크기보다 약 10배 정도가 큰 경우의 측정 값이다.

도 5는 본 발명의 실시예에 따라 도 3에 도시된 대표적인 디멀티플렉서와 도 4에 도시된 대표적인 화소들의 연결 구조를 상세히 나타내는 회로도이며, 도 6은 도 5에 도시된 화소회로의 동작을 설명하기 위한 타이밍도이다.

도 5에서는 제 1 출력라인(D1)에 연결된 하나의 디멀티플렉서(151)에 레드(R), 그린(G) 및 블루(B)의 부화소들이 접속된다고 가정하기로 한다.(즉,  $k=3$ )

도 5 및 도 6을 참조하면, 먼저, 1수평기간(1H) 중  $n-1$  번째 스캔기간 동안 제  $n-1$  스캔라인(Sn-1)으로 로우 레벨의 스캔신호가 공급된다. 제  $n-1$  스캔라인(Sn-1)으로 스캔신호가 공급되면 레드(R), 그린(G), 블루(B) 화소들 각각에 포함된 초기화 트랜지스터(M4)가 턴-온(turn-on) 된다. 초기화 트랜지스터(M4)가 턴-온 되면 스토리지 커패시터(Cst)의 일단자 및 구동 트랜지스터(M1)의 게이트단자가 초기화전원라인(Vinit)에 접속된다. 즉, 제  $n-1$  스캔라인(Sn-1)으로 스캔신호가 공급되면 R, G, B 화소들 각각의 스토리지 커패시터(Cst)에 저장되어 있던 이전 프레임의 데이터전압 즉, 구동 트랜지스터(M1)의 게이트전압은 초기화 된다. 제  $n-1$  스캔라인(Sn-1)으로 스캔신호가 공급될 때 제  $n$  스캔라인(Sn)과 접속된 제 1 스위칭 트랜지스터(M2)는 턴-오프 상태를 유지한다.

이후, 데이터기입기간 동안 순차적으로 공급되는 제 1 제어신호 내지 제 3 제어신호(CS1, CS2, CS3)에 의하여 제 1 스위칭 소자(T1), 제 2 스위칭 소자(T2) 및 제 3 스위칭 소자(T3)가 순차적으로 턴-온 된다. 먼저, 제 1 제어신호(CS1)에 의하

여 제 1 스위칭 소자(T1)가 턴-온 되면, 제 1 출력라인(D1)으로 공급되는 R 데이터신호가 제 1 데이터라인(D11)으로 공급된다. 이때, 제 1 데이터라인 커패시터( $C_{data11}$ )에는 제 1 데이터라인(D11)으로 공급되는 R 데이터신호에 대응되는 전압이 충전된다. 다음으로, 제 2 제어신호(CS2)에 의하여 제 2 스위칭 소자(T2)가 턴-온 되면, 제 1 출력라인(D1)으로 공급되는 G 데이터신호가 제 2 데이터라인(D12)으로 공급된다. 이때, 제 2 데이터라인 커패시터( $C_{data12}$ )에는 제 2 데이터라인(D12)으로 공급되는 G 데이터신호에 대응되는 전압이 충전된다. 마지막으로, 제 3 제어신호(CS3)에 의하여 제 3 스위칭 소자(T3)가 턴-온 되면, 제 1 출력라인(D1)으로 공급되는 B 데이터신호가 제 3 데이터라인(D13)으로 공급된다. 이때, 제 3 데이터라인 커패시터( $C_{data13}$ )에는 제 3 데이터라인(D13)으로 공급되는 B 데이터신호에 대응되는 전압이 충전된다. 한편, 데이터기입기간 동안 제 n 스캔라인(Sn)으로 스캔신호가 공급되지 않기 때문에 각각의 R, G, B 화소에는 R, G, B 데이터신호가 공급되지 않는다.

다음으로, 데이터기입기간에 이은 n 번째 스캔기간 동안 제 n 스캔라인(Sn)으로 로우 레벨의 스캔신호가 공급된다. 제 n 스캔라인(Sn)으로 스캔신호가 공급되면 R, G, B 화소들 각각에 포함된 제 1 스위칭 트랜지스터(M2) 및 문턱전압 보상 트랜지스터(M3)가 턴-온 된다. R, G, B 화소들 각각의 제 1 스위칭 트랜지스터(M2)는 데이터기입기간에서 제 1 내지 제 3 데이터라인 커패시터( $C_{data11}$  내지  $C_{data13}$ )에 저장된 각 R, G, B 데이터신호에 상응되는 전압(Vdata)을 각 R, G, B 화소들로 전달한다. 문턱전압 보상 트랜지스터(M3)는 구동 트랜지스터(M1)를 다이오드 연결시키는 역할을 한다. 즉, 다이오드 연결된 구동 트랜지스터(M1)를 통하여 제 1 내지 제 3 데이터라인 커패시터( $C_{data11}$  내지  $C_{data13}$ )에 저장된 R, G, B 데이터신호에 상응되는 전압(Vdata)과 구동 트랜지스터(M1)의 문턱전압(Vth)의 차에 해당하는 전압( $Vdata - Vth_{M1}$  [V])이 구동 트랜지스터(M1)의 게이트단자와 스토리지 커패시터(Cst)의 일단에 인가된다. 따라서, 구동 트랜지스터(M1)의 게이트 단자에 걸리는 전압은 상기 [수학식 1]에서 나타낸 값과 같다.

이후, 제 n 스캔신호가 하이 레벨로 바뀌고, 발광제어라인(En)으로 로우 레벨의 발광제어신호가 인가되면, 제 2 스위칭 트랜지스터(M5) 및 발광제어 트랜지스터(M6)가 턴-온 되어 구동 트랜지스터(M1)의 소스단자에 인가되는 제 1 전원(Vdd)과 게이트단자에 인가된 전압에 상응하는 구동전류가 상기 발광제어 트랜지스터(M6)를 통하여 유기발광소자(OLED)로 공급되어 소정 휙도의 빛이 발생된다. 여기서, 구동 트랜지스터(M1)의 게이트단자에 인가된 전압은 상기 [수학식 2]에 나타낸 값과 같다.

따라서, 본 발명에 따른 유기 전계발광 표시장치에서는 디멀티플렉서(151)를 이용하여 하나의 제 1 출력라인(D1)으로 순차적으로 공급되는 R, G, B 데이터신호를 k개의 데이터라인(D11-D1k)으로 공급할 수 있는 장점이 있다. 또한, 데이터기입기간 동안 데이터라인 커패시터( $C_{data11}$ ~ $C_{data1k}$ )에 데이터신호에 대응하는 전압을 저장하고, 스캔기간 동안 데이터라인 커패시터( $C_{data11}$ ~ $C_{data1k}$ )에 저장된 전압을 화소로 공급한다. 이와 같이 데이터라인 커패시터( $C_{data11}$ ~ $C_{data1k}$ )들에 저장된 전압을 동시에 각각의 화소들에 공급하기 때문에 즉, 동일한 시점에 각각의 데이터신호를 공급할 수 있기 때문에 균일한 휙도의 화상을 표시할 수 있다.

또한, 각각의 화소 내에 보조 커패시터(Caux)를 형성함으로써, 데이터라인 커패시터(Cdata)와 스토리지 커패시터(Cst)의 전하분배(charge sharing)에 의한 화소에 인가되는 전압이 낮아지는 문제를 해결하여 콘트라스트 비를 향상시킬 수 있다.

상기와 같은 본 발명의 실시예에 따른 유기 전계발광 표시장치는 레드, 그린, 블루의 유기물질을 이용하여 발광하는데, 상기 레드, 그린, 블루 유기물질의 경우 각각 흐르는 전류량에 따라 발광 휙도가 다르게 된다. 즉, 레드, 그린, 블루 유기물질의 효율이 모두 틀리므로 화이트 밸런스(white balance)를 맞추기 위해서는 레드, 그린, 블루 데이터 전압이 모두 달라야 한다. 그러나, 레드, 그린, 블루 데이터 전압의 차이가 클 경우 유기 전계발광 표시장치를 구동하는데 많은 어려움이 따른다.

따라서, 본 발명의 실시예에 따른 유기 전계발광 표시장치에서는 레드, 그린, 블루 부화소에 따라 보조 커패시터(Caux)의 크기를 달리 함으로써, 동일한 데이터 전압에 대해 화이트 밸런스를 맞추는 방법을 제안한다.

도 7은 도 4에 도시된 화소의 보조 커패시터의 커패시턴스의 크기에 따라 구동전류의 변화를 나타낸 시뮬레이션도이다.

도 7을 참조하면, 가로축은 보조 커패시터(Caux)의 커패시턴스의 크기를 나타내며, 우측으로 갈수록 크기가 작아진다. 상기 보조 커패시터(Caux)의 단위는 [PF]이다. 세로축은 화소에 흐르는 화이트 전류값을 나타내며, 단위는 [nA]이다.

도 7에 나타나 바와 같이 동일한 데이터 전압에 대하여 보조 커페시터(Caux)의 커페시턴스의 크기가 작아질수록 화소내의 전류값은 증가함을 알 수 있다. 즉, 보조 커페시터(Caux)의 크기가 0.05[PF]일 때, 화소 전류값은 110[nA]이고, 0.03[PF]일 때, 전류값은 220[nA]이며, 0.01[PF]일 때, 440[nA]이다. 일반적으로 유기물질의 발광효율은 그린>레드>블루의 순으로 나타난다.

따라서, 레드, 그린, 블루 부화소가 화이트 화소를 생성하는 화이트 전류(white current) 비가 약 2:1:4 일 경우, 레드, 그린, 블루 부화소의 보조 커페시터(Caux)의 커페시턴스의 크기 비는 약 3:5:1의 크기로 형성하는 경우 동일한 데이터 전압을 인가하여 화이트 밸런스를 맞출 수 있다. 즉, 각 보조 커페시터의 커페시턴스는 상기 화이트 전류비에 반비례하는 크기를 가진다.

도 8은 본 발명의 실시예에 따라 도 7에 도시된 시뮬레이션도에 따라 동일한 데이터 전압으로 화이트 밸런스를 맞출 수 있는 레드, 그린, 블루의 부화소 레이아웃도이다.

도 8을 참조하면, 각 레드, 그린, 블루 화소는 보조 커페시터의 크기를 제외하고 모두 동일한 레이아웃을 가졌다. 또한, 각 화소회로의 연결 관계는 상기 도 4에서 설명하였는바, 상세한 설명은 도 4를 참조하고 도 8의 레이아웃에 대하여는 간략히 살펴보기로 한다.

즉, 레드(R) 화소는 제 1 방향으로 이전 스캔라인(Sn-1), 현재 스캔라인(Sn), 발광제어라인(En) 및 초기화전압라인(Vinit)이 평행하게 연장되어 있다. 또한, 제 2 방향으로 제 1 전원전압라인(Vdd) 및 데이터라인(Dm)이 서로 평행하게 연장되어 있다. 제 1 방향으로 연장된 라인들과 제 2 방향으로 연장된 라인들은 서로 절연막을 사이에 두고 교차한다.

도 8에 도시된 바와 같이 제 1 스위칭 트랜지스터(M2), 구동 트랜지스터(M2), 문턱전압보상 트랜지스터(M3), 제 2 스위칭 트랜지스터(M5) 및 발광제어 트랜지스터(M6)는 제 1 반도체층으로 형성된다. 또한, 초기화 트랜지스터(M4)는 제 2 반도체층으로 형성된다.

상기 현재 스캔라인(Sn)은 제 1 스위칭 트랜지스터(M2) 및 문턱전압보상 트랜지스터의 게이트전극으로서의 역할을 수행한다. 상기 이전 스캔라인(Sn-1)은 초기화 트랜지스터의 게이트전극으로서의 역할을 수행한다. 또한, 발광제어라인(En)은 제 2 스위칭 트랜지스터(M5) 및 발광제어 트랜지스터(M6)의 게이트전극으로서의 역할을 수행한다.

스토리지 커페시터(Cst)는 상부기판과 제 1 전원전압라인인 하부기판으로 형성된다. 보조 커페시터(Caux)는 하부기판인 현재 스캔라인(Sn)과 구동 트랜지스터(M2)의 게이트전극인 상부기판으로 구성된다. 상기 보조 커페시터(Caux)는 각 레드, 그린, 블루 화소마다 크기를 달리한다. 상기 보조 커페시터(Caux)의 크기는 상기 구동 트랜지스터(M2)의 게이트전극으로 사용되는 상부기판의 크기를 조절함으로써, 조절가능하다.

상기 도 7의 예에서와 같이 화이트 밸런스를 맞추기 위하여 레드, 그린, 블루의 부화소의 화이트 전류 비가 2: 1: 4 인 경우, 보조 커페시터(Caux)의 크기의 비는 3: 5: 1이 되는 경우 동일한 데이터 전압에서 화이트 밸런스를 맞출 수 있다. 따라서, 도 8에서와 같이 레드, 그린, 블루 부화소의 각 보조 커페시터(Caux(R), Caux(G), Caux(B))의 크기를 다르게 형성하였다.

상기 보조 커페시터(Caux)의 커페시턴스의 크기는 각 유기물질의 발광효율에 따라 크기를 달리한다. 즉, 각 유기물질의 발광효율이 높을수록 즉, 동일한 전류량에 따라 휘도가 높을수록 보조 커페시터(Caux)의 커페시턴스를 크게 한다. 일반적으로 그린의 발광효율이 가장 좋고, 그 다음으로 레드이며, 블루 유기물질의 발광효율이 가장 나쁘다. 따라서, 각 화소 보조 커페시터(Caux)의 커페시턴스의 크기는 그린>레드>블루의 순으로 결정된다.

상기와 같이 본 발명의 실시예에 따른 유기 전계발광 표시장치는 각 화소 내에 보조 커페시터(Caux)를 형성함으로써, 디멀티플렉스 구동에 따른 화소내로 인가되는 데이터 전압의 감소를 보정함으로써, 블랙 표현이 가능해져 콘트라스트 비가 향상된다. 이에 따라, 구동전압(Vdd 및 Vss)을 낮출 필요가 없어지고, DC/DC효율이 감소되는 것을 방지할 수 있다. 또한, 각 레드, 그린, 블루 부화소마다 상기 보조 커페시터(Caux)의 커페시턴스를 발광효율에 따라 달리 함으로써, 동일한 데이터 전압으로 화이크 밸런스를 맞출 수 있어 구동을 용이하게 할 수 있다.

이상에서는, 본 발명의 실시예를 들어 설명하였지만, 본 발명의 권리범위는 상기 실시예에 한정되지 않고, 본 발명이 속하는 기술분야에서 통상의 지식을 가지는 자가 아래 특허청구범위를 통해 쉽게 변형 또는 치환한 것 또한 본 발명의 권리범위 속한다.

## 발명의 효과

상술한 바와 같이, 본 발명의 실시 예에 따른 유기 전계발광 표시장치에 의하면 각 화소 내에 보조 커패시터(Caux)를 형성함으로써, 디멀티플렉스 구동에 따른 화소내로 인가되는 데이터 전압의 감소를 보정함으로써, 블랙 표현이 가능해져 콘트라스트 비가 향상된다. 이에 따라, 데이터 전압의 감소에 따른 전원전압(Vdd 및 Vss)을 낮출 필요가 없어지므로, 구동전압 공급부의 DC/DC효율에 이득이 있다.

또한, 각 레드, 그린, 블루 부화소마다 상기 보조 커패시터(Caux)의 커패시턴스를 발광효율에 따라 달리 함으로써, 동일한 데이터 전압으로 화이크 밸런스를 맞출 수 있어 구동을 용이하게 할 수 있다.

## (57) 청구의 범위

### 청구항 1.

레드 부화소, 그린 부화소, 및 블루 부화소로 구성되는 화소들을 다수개 가지며, 상기 다수의 화소들이 발광하여 영상을 디스플레이 하는 유기 전계발광 표시장치에 있어서,

상기 각각의 부화소는,

데이터라인, 스캔라인 및 제 1 전원전압라인에 연결되고, 상기 데이터라인에서 공급되는 구동전압을 저장하는 스토리지 커패시터를 포함하고, 소정의 구동전류를 발생하기 위한 화소구동부; 및

상기 화소구동부와 제 2 전원전압라인 사이에 연결되고, 상기 구동전류에 해당하는 휘도로 발광하는 유기발광소자를 포함하며,

상기 화소구동부는 상기 스토리지 커패시터와 스캔라인 사이에 연결되고, 상기 구동전압을 증가시키기 위한 보정전압을 생성하는 보조 커패시터를 더 포함하고, 상기 각각의 부화소들의 상기 보조 커패시터들은 상기 각각의 부화소들의 발광효율의 비에 따라 그 커패시턴스를 달리하는 것을 특징으로 하는 유기 전계발광 표시장치.

### 청구항 2.

제 1 항에 있어서,

상기 보조 커패시터의 커패시턴스는 상기 각 부화소들이 발광하여 화이트 화소를 생성하는 구동전류비에 반비례하는 것을 특징으로 하는 유기 전계발광 표시장치.

### 청구항 3.

제 2 항에 있어서,

상기 그린 부화소의 보조 커패시터의 커패시턴스는 상기 레드 부화소의 보조 커패시터보다 크며, 상기 레드 부화소의 보조 커패시터의 커패시턴스는 상기 블루 부화소의 보조 커패시터 보다 크기가 큰 것을 특징으로 하는 유기 전계발광 표시장치.

### 청구항 4.

제 3 항에 있어서,

상기 보조 커패시터에 의하여 증가되는 보정전압은 아래 [수학식]인 것을 특징으로 하는 유기 전계발광 표시장치.

### [수학식]

$$Vx = Caux / (Cst + Caux) * (VVDD - VVSS)$$

여기서,  $Vx$ 는 보정전압,  $Caux$ 는 보조 커패시터,  $Cst$ 는 스토리지 커패시터,  $VVDD$ 는 하이레벨의 스캔신호 및  $VVSS$ 는 로우레벨의 스캔신호이다.

### 청구항 5.

제 1 항에 있어서,

상기 화소구동부는,

상기 스토리지 커패시터의 일단과 초기화 전원라인 사이에 연결되고,  $n-1$  번째 스캔신호에 턴-온 되어 상기 스토리지 커패시터를 초기화시키기 위한 초기화 트랜지스터;

상기 데이터라인에 연결되고,  $n$  번째 스캔신호에 턴-온 되어 상기 데이터전압을 전달하기 위한 제 1 스위칭 트랜지스터;

상기 제 1 스위칭 트랜지스터에 제 1 전극이 연결되고 상기 스토리지 커패시터의 일단에 게이트전극이 연결되며, 상기 구동전류를 발생하기 위한 구동 트랜지스터;

상기 구동 트랜지스터의 게이트전극과 제 2 전극 사이에 연결되고, 상기  $n$  번째 스캔신호에 턴-온 되어 상기 구동 트랜지스터를 다이오드 연결시켜 상기 구동 트랜지스터의 문턱전압을 보상하기 위한 문턱전압 보상 트랜지스터; 및

상기 제 1 전원전압라인과 상기 구동 트랜지스터의 제 2 전극 사이에 연결되고,  $n$  번째 발광제어신호에 턴-온 되어 상기 제 1 전원전압을 상기 구동 트랜지스터의 제 2 전극으로 공급하기 위한 제 2 스위칭 트랜지스터를 더 포함하는 것을 특징으로 하는 유기 전계발광 표시장치.

### 청구항 6.

제 5 항에 있어서,

상기 화소구동회로는,

상기 구동 트랜지스터와 상기 유기발광소자의 사이에 연결되고, 상기  $n$  번째 발광제어신호에 턴-온 되어 상기 구동전류를 상기 유기발광소자로 공급하기 위한 발광제어 트랜지스터를 더 포함하는 것을 특징으로 하는 유기 전계발광 표시장치.

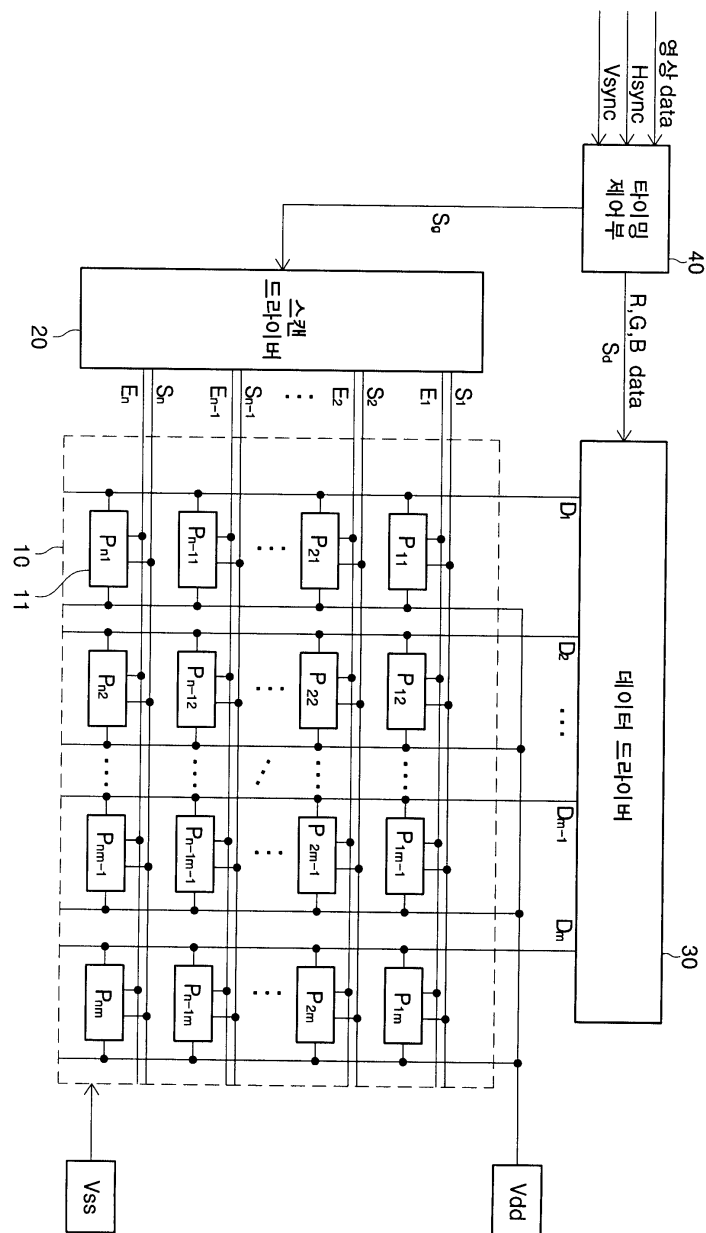
### 청구항 7.

제 6 항에 있어서,

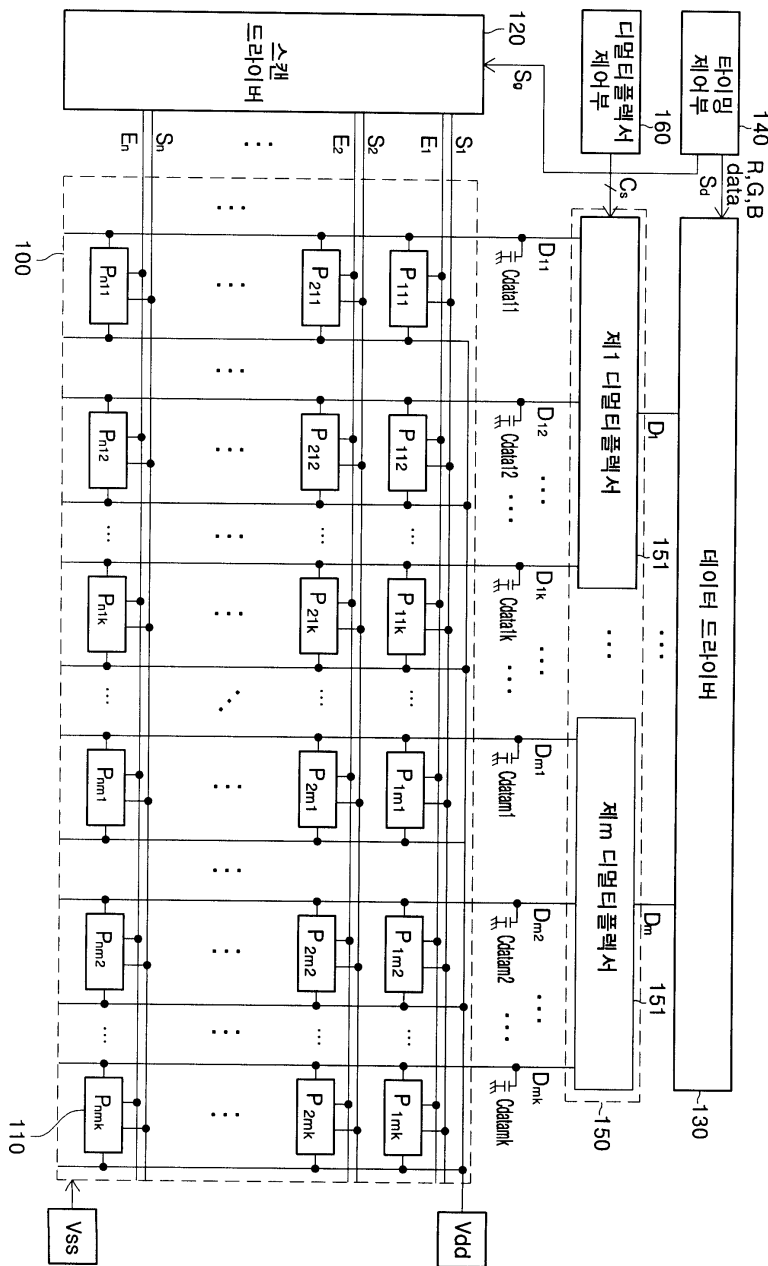
상기 제 1 내지 제 6 트랜지스터는 동일한 전도타입(N타입 또는 P타입)의 MOSFET(Metal Oxide Semiconductor Field Effect Transistor)인 것을 특징으로 하는 유기 전계발광 표시장치.

**도면**

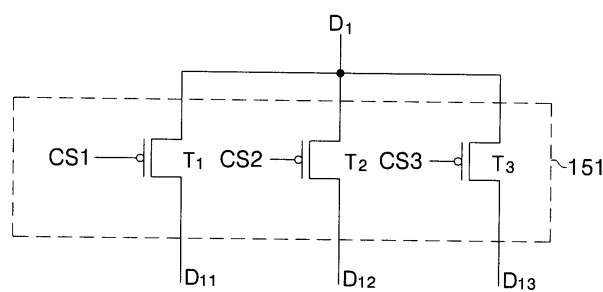
도면1



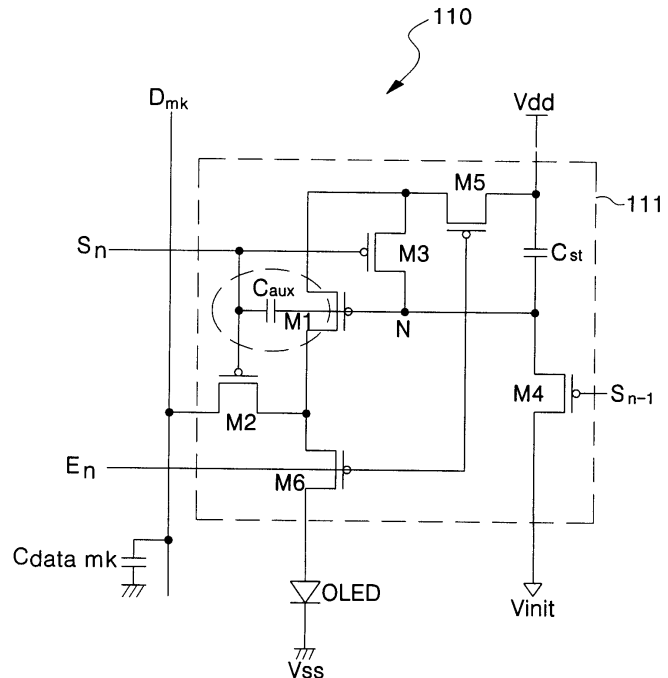
도면2



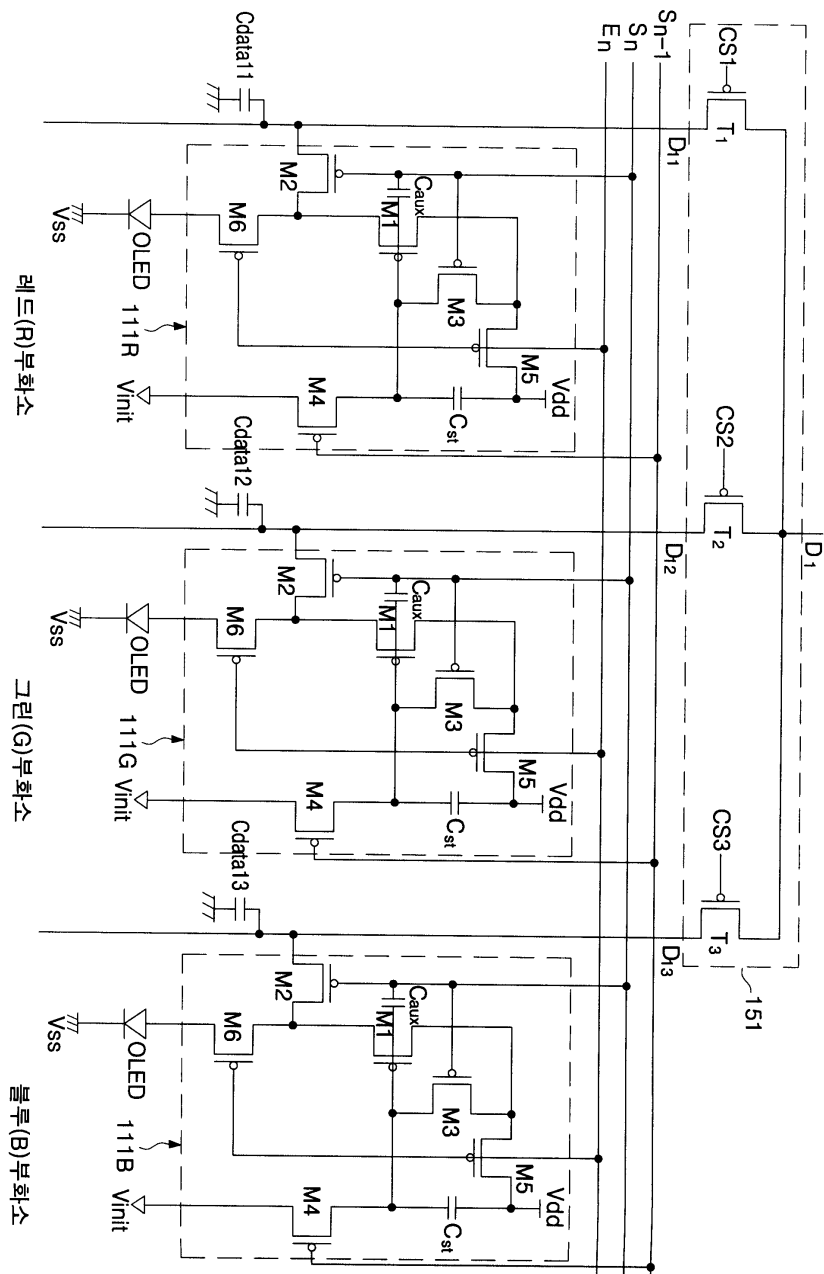
도면3



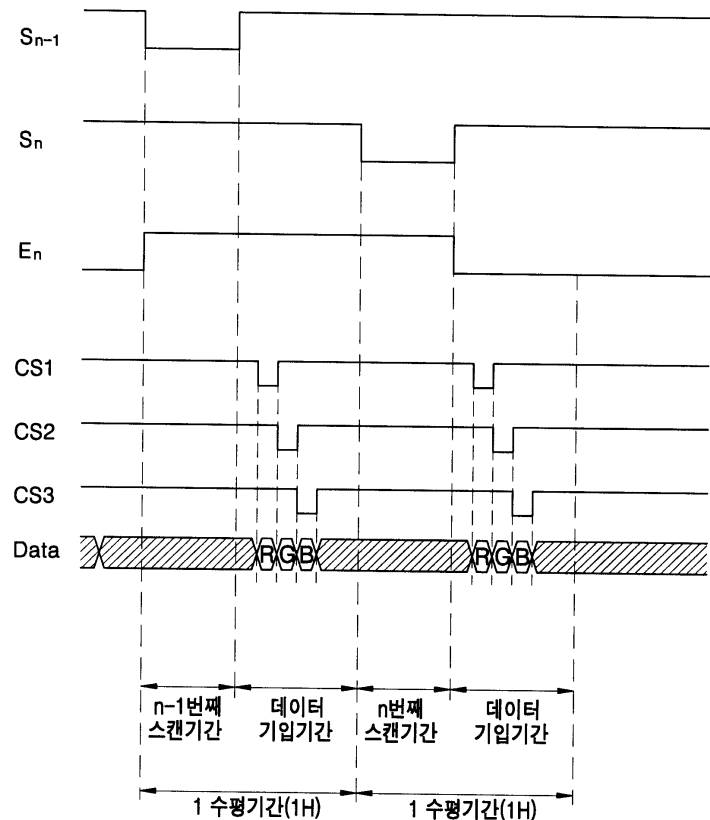
## 도면4



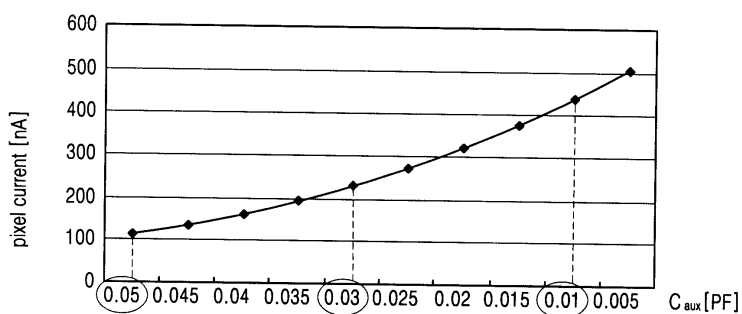
도면5



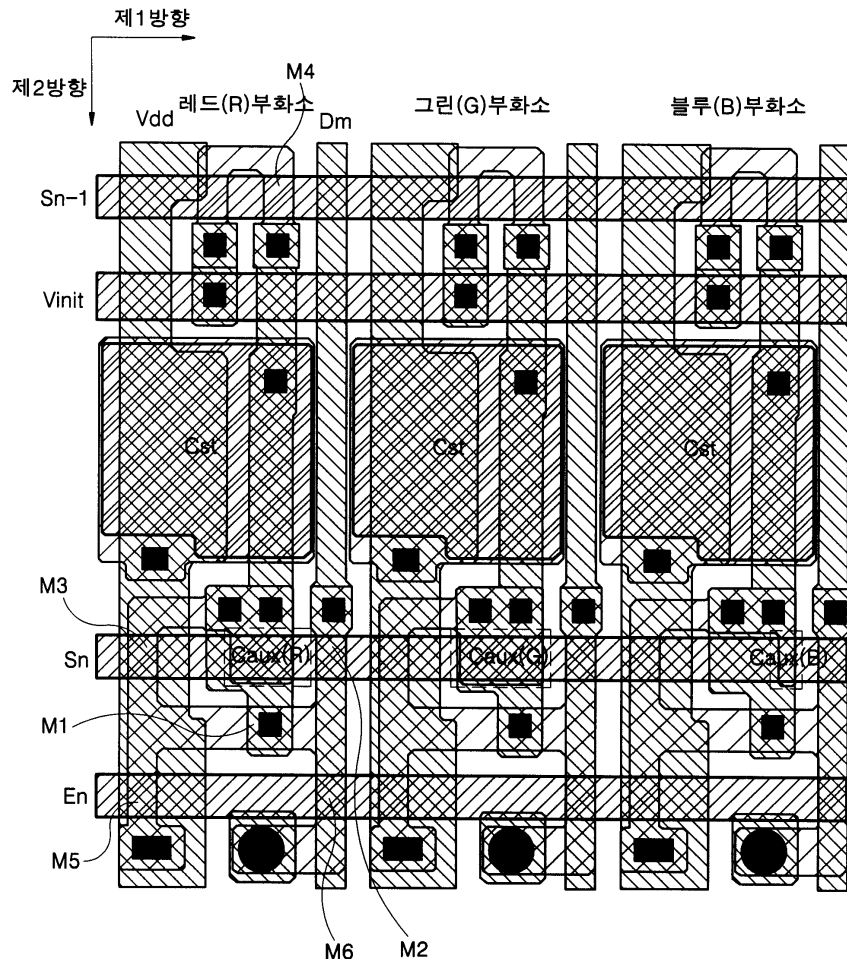
도면6



도면7



도면8



专利名称(译)	有机电致发光显示装置		
公开(公告)号	<a href="#">KR100635509B1</a>	公开(公告)日	2006-10-17
申请号	KR1020050074865	申请日	2005-08-16
申请(专利权)人(译)	三星SD眼有限公司		
当前申请(专利权)人(译)	三星SD眼有限公司		
[标]发明人	KIM YANG WAN		
发明人	KIM YANG WAN		
IPC分类号	H05B33/26		
CPC分类号	G09G2300/0852 G09G2320/043 H01L27/326 G09G3/3233 G09G2320/0238 G09G2300/0819 G09G2310/0297 G09G2320/0666 G09G3/3291		
代理人(译)	PARK, 常树		
外部链接	<a href="#">Espacenet</a>		

### 摘要(译)

公开了一种有机发光显示装置，其能够使用解复用来减少数据驱动器的输出线的数量，显示均匀亮度的图像，以及调整白平衡。本发明的有机发光显示器具有多个红色，绿色和子像素，并且每个子像素具有用于校正驱动电压降低的辅助电容器。每个辅助电容器的电容的大小根据红色，绿色和蓝色子像素的发光效率而变化。绿色子像素的辅助电容器的电容大于红色子像素的辅助电容器，并且红色子像素的辅助电容器的电容大于蓝色子像素的辅助电容器。因此，可以将白平衡调整到相同的数据电压。 8

